

SO₄²⁻对NiCu低合金钢在除氧NaHCO₃溶液中 腐蚀行为的影响*

卢云飞^{1,2)} 董俊华¹⁾ 柯伟¹⁾

1) 中国科学院金属研究所环境腐蚀中心, 沈阳 110016

2) 武汉第二船舶设计研究所, 武汉 430064

摘要 采用原位电化学监测技术研究了SO₄²⁻对NiCu低合金钢在除氧NaHCO₃溶液浸泡过程中腐蚀行为的影响, 并利用XRD和SEM对浸泡后样品的锈层相结构和表面形貌进行了分析. 结果表明, 与纯NaHCO₃溶液相比, SO₄²⁻的添加会在浸泡初期加速基体的腐蚀, 在后期抑制保护性腐蚀产物膜的生成, 促使腐蚀模式由未加入SO₄²⁻时的预钝化行为向活性溶解转变. 此外, SO₄²⁻与HCO₃⁻浓度的升高均有助于Fe₃(OH)₂CO₃的生成. 样品表面腐蚀产物最终由α-FeOOH, Fe₂O₃和Fe₃(OH)₂CO₃构成, 表面形貌均以均匀腐蚀为主.

关键词 低合金钢, 锈层, HCO₃⁻, SO₄²⁻

中图法分类号 TF777.1

文献标识码 A

文章编号 0412-1961(2015)09-1067-10

EFFECTS OF SO₄²⁻ ON THE CORROSION BEHAVIOR OF NiCu LOW ALLOY STEEL IN DEAERATED BICARBONATE SOLUTIONS

LU Yunfei^{1,2)}, DONG Junhua¹⁾, KE Wei¹⁾

1) Environmental Corrosion Center, Institute of Metal Research, Chinese Academy of Sciences, Shenyang 110016

2) Wuhan the Second Ship Design and Research Institute, Wuhan 430064

*Correspondent: DONG Junhua, professor, Tel: (024)23915912, E-mail: jhdong@imr.ac.cn**Supported by National Natural Science Foundation of China (No.51471175)*

Manuscript received 2015-03-10, in revised form 2015-06-28

ABSTRACT High level radioactive waste (HLW) is an extremely dangerous by-product of the global nuclear industry. Due to its intensely radioactive nature and ultra long half-life, HLW has to be safely managed and disposed for thousands of years, isolated from the biosphere. Deep geological repository (DGR) is considered to be the most feasible option worldwide because of its operability, stability, durability, environmental protection and so on. Basically, DGR relies on a multibarrier system and it consists of metallic canisters, backfill materials and a stable geologic formation. Since radionuclides could be moved into the biosphere by action of groundwater, both the geologic formation and backfill materials have to be of very low hydraulic permeability and metal canisters have to be corrosion resistant and prevent contact between the groundwater and the radioactive waste for as long as possible. Low carbon steel has been selected and studied as a candidate canister material in many countries because its long industrial experience, high-strength, low cost and it is less prone to localized corrosion than materials that passivity, but its larger corrosion rate may also set an insuperable barrier for the practical application. Recently, our studies revealed that NiCu low alloy steel is a more promising candidate for the canister material compared with the popular one, low carbon steel, since the former performs a more acceptable corrosion rate without increasing

* 国家自然科学基金资助项目 51471175

收到初稿日期: 2015-03-10, 收到修改稿日期: 2015-06-28

作者简介: 卢云飞, 女, 1987年生, 博士生

DOI: 10.11900/0412.1961.2015.00133

much cost and has better resistance to localized corrosion in environments with high concentration of Cl^- . In this work, effects of SO_4^{2-} , another ubiquitous species in deep groundwater, on the corrosion behavior of NiCu low alloy steel during immersion in simulated deep groundwater environments were investigated by in situ electrochemical measurements and surface analysis techniques. Results show that the addition of SO_4^{2-} can promote the substrate dissolution during the initial stage of immersion. In the later stage, SO_4^{2-} weakens the protectiveness of formed films and consequently, active dissolution prevails on the electrode surface rather than the prepassivation. Concentrated SO_4^{2-} and HCO_3^- can both promote the formation of $\text{Fe}(\text{OH})_2\text{CO}_3$. The main components of corrosion products are $\alpha\text{-FeOOH}$, Fe_3O_4 and $\text{Fe}(\text{OH})_2\text{CO}_3$, and uniform corrosion is observed.

KEY WORDS low alloy steel, rust, HCO_3^- , SO_4^{2-}

低碳钢因其发生局部腐蚀倾向较小、制造成本低廉,是高放废物地质处置罐的候选材料之一^[1-4]。然而与其他候选材料(Cu、钛合金、镍基合金等)相比,低碳钢腐蚀速率较大^[5-7],服役寿命低,严重限制其作为高放废物处置罐的候选材料。为了在不大幅增加成本的情况下提高低碳钢的耐蚀性,降低其平均腐蚀速率,合金化处理是一种可行的选择。由于我国高放废物地质处置预选区深层地下水中普遍存在 HCO_3^- 、 SO_4^{2-} 和 Cl^- ^[8],其中, Cl^- 对罐体材料具有很强的侵蚀作用,易引发局部腐蚀,会对罐体服役寿命及高放废物的安全处置构成严重威胁。因此,合金化处理后的低碳钢首先需要在含 Cl^- 的环境中表现出较好的耐蚀性。与低碳钢相比,NiCu低合金钢作为一种海洋环境用钢,在高 Cl^- 含量的海水飞溅区及海洋大气环境中都表现出了优异的耐腐蚀性能^[9-11]。因此,本课题组前期工作^[12-16]将NiCu低合金钢作为高放废物处置罐的候选材料,对其在模拟地下水环境,含 Cl^- 和不含 Cl^- 的除氧 NaHCO_3 溶液中的腐蚀演化行为进行了深入研究,并与低碳钢在相同溶液环境中的腐蚀行为进行比较。结果表明,NiCu低合金钢的腐蚀速率远低于低碳钢,且耐局部腐蚀性能明显提高。然而,深层地下水环境中的另一个主要的侵蚀性离子 SO_4^{2-} 对NiCu低合金钢的腐蚀行为的影响研究尚未见报道。因此,本工作主要通过电化学原位监测的方法对NiCu低合金钢在含 SO_4^{2-} 的模拟地下水溶液中的腐蚀行为进行研究,以了解 SO_4^{2-} 对NiCu低合金钢在长期腐蚀进程中腐蚀活化/钝化模式的影响。

1 实验方法

实验采用三电极体系。研究材料为NiCu低合金钢,主要化学成分(质量分数,%)为: Ni 3, Cu 0.3, C 0.21, Si 0.21, Mn 0.58, S 0.0036, P 0.017, Fe 余量。试样尺寸为 $10\text{ mm} \times 10\text{ mm} \times 3\text{ mm}$,工作电极的工作面积为 100 mm^2 ,其余表面用环氧树脂封装。所有样品都经砂纸逐级打磨至800号,然后用去离子水

冲洗,乙醇除油,干燥备用。参比电极为饱和甘汞电极(SCE),辅助电极为Pt片。电解质溶液为 $x\text{ mol/L NaHCO}_3 + y\text{ mol/L Na}_2\text{SO}_4$,其中, $x=0.05, 0.10$; $y=0.02, 0.05, 0.10$; pH值为8.33,采用分析纯试剂和蒸馏水配制。

实验前,预先向盛有电解质溶液的密封电解池中持续通入高纯 N_2 (99.999%)以除氧,同时将试样用相同的电解质溶液在800号砂纸上轻微打磨,除去表面膜后立即浸入电解池中。继续通气30 min后开始实验,并在实验期间采用水封瓶以使高纯 N_2 始终充满电解池的空隙处。采用PARSTAT 2273电化学工作站测量试样的极化曲线。待工作电极开路电位稳定后,以 10 mV/min 的扫描速率从 -1.0 V 极化到 0.4 V 。采用HA-151A恒电位仪对工作电极的腐蚀电位进行长期的原位监测。监测期间,采用PARSTAT 2273电化学工作站定期测量试样的电化学阻抗谱(EIS),扫描范围从 0.01 Hz 到 100 kHz 。本工作中所有测量电位均为相对于SCE的电位。

浸泡实验结束后,取出NiCu低合金钢样品,在高纯 N_2 流中吹干并密封保存。利用Rigaku-D/max 2500 PC X射线衍射仪(XRD)对试样表面生成的腐蚀产物进行分析鉴定。然后用酸洗液($20\text{ g}(\text{CH}_3)_6\text{N}_4 + 500\text{ mL HCl} + 500\text{ mL H}_2\text{O}$)将该试样表面的腐蚀产物去除,采用FEI XL-30FEG型扫描电镜(SEM)观察表面腐蚀形貌。

2 实验结果与讨论

图1a和b分别为NiCu低合金钢在除氧0.05和 $0.10\text{ mol/L NaHCO}_3$ 溶液中添加不同浓度 SO_4^{2-} 后的极化曲线。2条实线分别表示NiCu低合金钢在2种对应空白 NaHCO_3 溶液中的结果^[15,16],在这2种 NaHCO_3 溶液中,NiCu低合金钢的极化行为类似:阴极极化行为均为析氢反应主导;阳极极化行为均表现出了从低电位区的活性溶解向高电位区的稳态钝化转变的过程。期间经历了3个氧化峰,按峰值电位从低到高,依次为P1、P2和P3(对应的电位分别为

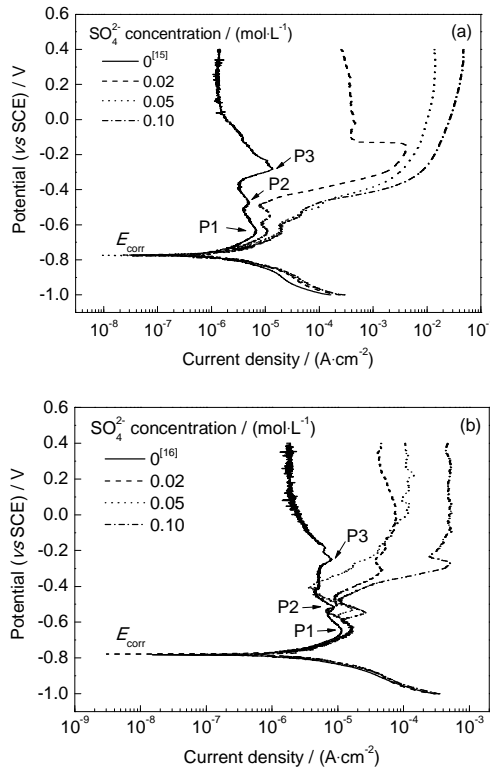
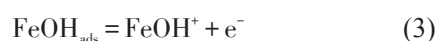
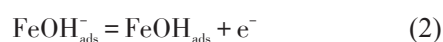
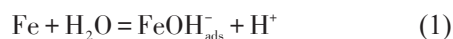


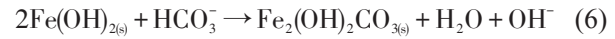
图1 NiCu低合金钢在添加不同浓度 SO_4^{2-} 的除氧0.05和0.10 mol/L NaHCO_3 溶液中及未添加 SO_4^{2-} 溶液中^[15,16]的极化曲线

Fig.1 Polarization curves of NiCu low alloy steel in the de-aerated 0.05 mol/L (a) and 0.10 mol/L (b) bicarbonate solutions containing different concentrations of SO_4^{2-} and without SO_4^{2-} ^[15,16] (E_{corr} —corrosion potential, P1—the first oxidation peak, P2—the second oxidation peak, P3—the third oxidation peak)

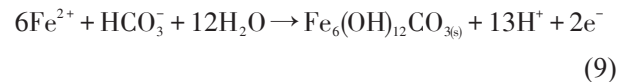
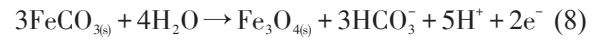
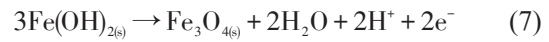
E_{P1} , E_{P2} 和 E_{P3}). 根据Dong等^[17]在无氧 NaHCO_3 溶液中获得低碳钢在不同恒电位极化条件下对应的腐蚀产物成分及相应的电位-pH图, 可以判断P1, P2和P3峰分别对应的是 $\text{Fe} \rightarrow \text{Fe(II)}$ 腐蚀产物, Fe(II) 腐蚀产物 $\rightarrow \text{Fe(II/III)}$ 腐蚀产物和 Fe(II/III) 腐蚀产物 $\rightarrow \text{Fe(III)}$ 腐蚀产物的转化过程. 首先, 在阳极活化区, 即当扫描电位 E 位于腐蚀电位 E_{corr} 和 E_{P1} 之间时, 电极表面的腐蚀产物主要由前置钝化膜 Fe(OH)_2 构成^[18,19]:



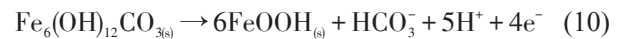
在 HCO_3^- 的作用下, 电极表面也可能有二价Fe的碳酸盐存在:



随着扫描电位继续正移, 前置钝化膜的保护性增强. 当 $E > E_{\text{P1}}$ 后, 腐蚀电流密度降低. 然后, 在 E_{P2} 附近, Fe(II) 产物开始向 Fe(II/III) 腐蚀产物转化:



其中, Fe_3O_4 可以在钝化膜中稳定存在, 是钝化膜的有效作用成分; 与 Fe_3O_4 相比, $\text{Fe}_6(\text{OH})_{12}\text{CO}_3$ 较不稳定, 容易氧化成 Fe(III) 腐蚀产物. 最后, 在 E_{P3} 附近, Fe(II/III) 产物向 Fe(III) 腐蚀产物转化^[16]:



在这2种 NaHCO_3 溶液中添加不同浓度 SO_4^{2-} 之后, 试样极化曲线的 E_{corr} 及阴极部分变化不大, 而阳极部分差别明显. 首先, SO_4^{2-} 的添加使得阳极极化曲线整体右移, 即阳极腐蚀电流密度整体增大. 其次, 加入的 SO_4^{2-} 改变了试样的阳极极化行为, 尤其是在高电位区间. 在较低浓度(0.05 mol/L)的 NaHCO_3 溶液中, 如图1a所示, 当 SO_4^{2-} 的加入量为0.02 mol/L时, 试样的阳极极化行为在经历了活性溶解、P1和P2峰之后, 在 $E = -0.49$ V时出现了腐蚀电流密度急剧增加的现象, 随后在 $E = -0.144$ V时, 又出现了二次钝化的现象, 钝化电流密度最终稳定在0.3 mA/cm^2 左右. 当 SO_4^{2-} 的加入量 ≥ 0.05 mol/L时, 试样的阳极极化行为不再出现明显的钝化特征, 在经历了电流密度持续增加的活性溶解区间后, 在高电位区试样表现出极限扩散的特征, 且扩散电流密度随 SO_4^{2-} 加入量的增加而增大. 在较高浓度(0.10 mol/L)的 NaHCO_3 溶液中, 如图1b所示, SO_4^{2-} 对阳极极化曲线的影响减弱. 在低电位区, 试样在添加了不同浓度 SO_4^{2-} 溶液中的阳极极化行为仍都在活化区之后经历了P1和P2峰. 在高电位区, 阳极极化行为出现了与空白 NaHCO_3 溶液中不同的特征: 极化曲线在P2峰之后都相继出现了一个腐蚀电流密度快速增加的阶段, 随着扫描电位的进一步正移, 也没有发生二次钝化, 最终试样表现为明显的极限扩散行为. 试样在添加了0.02, 0.05和0.10 mol/L SO_4^{2-} 的溶液中的极限扩散电流密度分别稳定在43.6, 107.7和480.3 $\mu\text{A}/\text{cm}^2$ 左右. 以上结果表明, 在 NaHCO_3 溶液中加入 SO_4^{2-} 对电极表面钝化膜的生成有抑制作用, 且随 SO_4^{2-} 浓度的增加而愈明显. 在较低浓度的 NaHCO_3 溶液中, 高浓度 SO_4^{2-} 的加

入可以阻碍钝化膜在基体表面的形成,使电极腐蚀模式始终保持为活性溶解;在较高浓度的 NaHCO_3 溶液中, SO_4^{2-} 的加入可以破坏电极表面产物膜的保护性,使腐蚀电流密度增大。

由于 SO_4^{2-} 对钝化膜的破坏作用在高浓度时更加明显,因此,选用添加 $0.10 \text{ mol/L Na}_2\text{SO}_4$ 的 0.05 和 $0.10 \text{ mol/L NaHCO}_3$ 这2种溶液来研究NiCu低合金钢在浸泡过程中的腐蚀行为演化。图2a和b中的实线分别表示试样在这2种实验溶液中的开路电位随浸泡时间的变化曲线,虚线则是试样在对应空白 NaHCO_3 溶液^[15,16]中开路电位的演化结果。可以看出,所有开路电位随时间变化曲线都大致经历3个阶段:第一阶段,缓慢上升;第二阶段,迅速正移;第三阶段,波动变化后终趋于稳定。无 SO_4^{2-} 添加时,随溶液中 NaHCO_3 浓度从 0.05 mol/L 增加到 0.10 mol/L ,第一阶段持续时间明显缩短(从 40 d 变为 25 d),第三阶段的稳定电位也从 -0.40 V 提高到了 -0.28 V 。结合相应极化曲线可知,二者最终都处于预钝化区,并随 NaHCO_3 浓度的提高,电极表面产物膜保护性越好。加入 SO_4^{2-} 虽然对初始开路电位几乎没有影

响,但给后续演化过程带来了2个明显的变化。首先,与未加入 SO_4^{2-} 相比,第一阶段持续时间明显缩短。根据Bockris等^[18]的研究,在Fe溶解成 Fe^{2+} 的过程中, FeOH_{ads} 会以中间产物的形式存在。当溶液中含有 HCO_3^- 时,它可以直接与 FeOH_{ads} 反应,促进基体溶解^[19,20]。



其中, FeHCO_3^+ 和 $\text{Fe}(\text{CO}_3)_2^{2-}$ 都是可溶性物质,它们会进一步电离出 Fe^{2+} 。当溶液中同时含有 SO_4^{2-} 时,它也可以与 FeOH_{ads} 发生反应:



生成的 FeSO_4^{2-} 也会进一步转化为 Fe^{2+} 。因此, SO_4^{2-} 的添加可以在浸泡初期促进基体的腐蚀,使得电极表面有更多的腐蚀产物沉积,并与金属基体构成电偶对,进一步拉动开路电位正移,使第二阶段更早发生。另一个变化是, $0.10 \text{ mol/L SO}_4^{2-}$ 的加入使得试样在 0.05 和 $0.10 \text{ mol/L NaHCO}_3$ 溶液中的开路电位都最终稳定在 -0.59 V 左右,远低于其在相应空白 NaHCO_3 溶液^[15,16]中的值。结合相应极化曲线(图1)可以判断,在 $0.05 \text{ mol/L NaHCO}_3 + 0.10 \text{ mol/L Na}_2\text{SO}_4$ 溶液中,开路电位最终稳定于活化区,即电极表面的腐蚀行为以基体活性溶解为主;在 $0.1 \text{ mol/L NaHCO}_3 + 0.10 \text{ mol/L Na}_2\text{SO}_4$ 溶液中,开路电位最终稳定于 E_{P1} 和 E_{P2} 之间,电极表面处于预钝化状态。可见, SO_4^{2-} 的添加对钝化膜的生成有抑制作用,且在较低浓度 NaHCO_3 溶液中尤为明显。

为了进一步研究NiCu低合金钢在浸泡过程中的腐蚀行为,对其进行了原位EIS监测。在浸泡的第二阶段,由于试样开路电位快速正移,即电极表面状态发生急剧变化,不满足“稳定性条件”^[21],因此该阶段未做测量。图3是试样在 $0.05 \text{ mol/L NaHCO}_3 + 0.10 \text{ mol/L Na}_2\text{SO}_4$ 溶液中浸泡第一和第三阶段的EIS结果。

从图3a可以看出,浸泡1 d后的Bode相角图为一个宽大且对称的相角峰,峰值约为 69° ,峰值频率在 4.6 Hz 附近。在低频端(10 mHz 附近),相角图呈现出轻微上扬的趋势。从Bode模值图(图3b)中看出,浸泡1 d后的低频阻抗 R_{LF} 表现为最大值,约为 $5300 \Omega \cdot \text{cm}^2$ 。随着浸泡时间的延长,相角峰仍保持对称,且逐步向低频方向移动(图3a),峰值变化不大。浸泡32 d后,峰值频率已右移到 0.03 Hz 左右,峰值约为 72° 。 R_{LF} 随时间延长而逐步降低(图3b),浸泡32 d后的 R_{LF} 仅约为 $630 \Omega \cdot \text{cm}^2$ 。高频(1 kHz)阻抗 R_{HF}

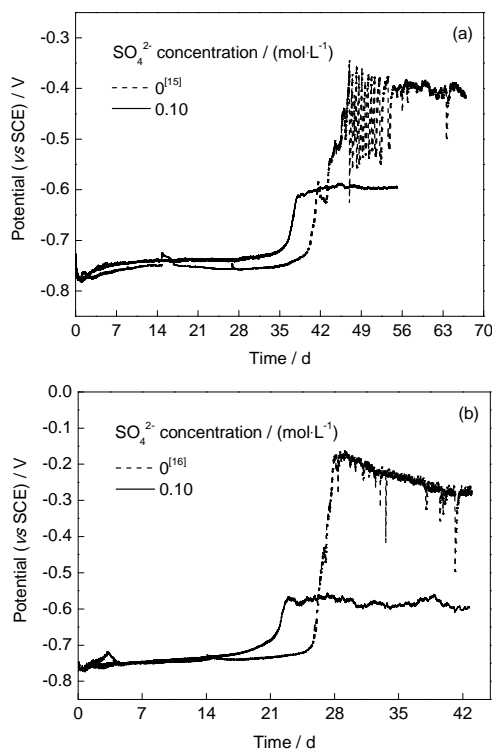


图2 NiCu低合金钢在添加了 $0.10 \text{ mol/L SO}_4^{2-}$ 的除氧 0.05 和 $0.10 \text{ mol/L NaHCO}_3$ 溶液中及未添加 SO_4^{2-} 溶液中^[15,16]的开路电位随浸泡时间的变化曲线

Fig.2 Evolution curves of open circuit potential of NiCu low alloy steel in the deaerated 0.05 mol/L (a) and 0.10 mol/L (b) bicarbonate solutions with or without^[15,16] $0.10 \text{ mol/L SO}_4^{2-}$

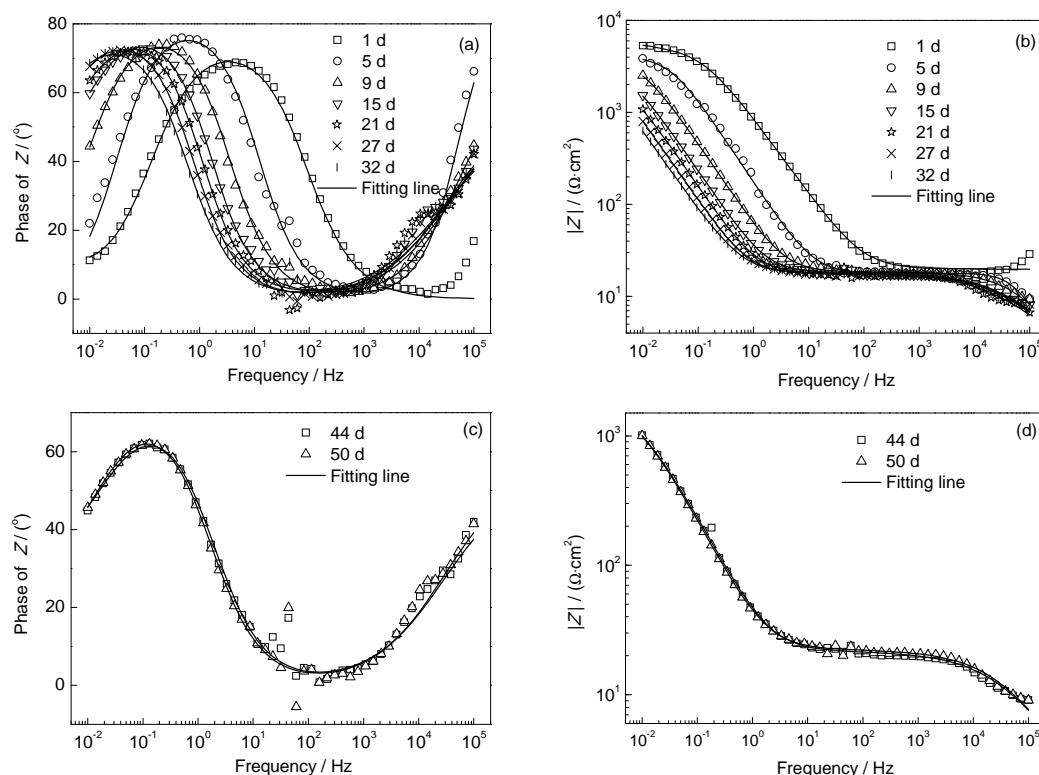


图3 NiCu低合金钢在添加了0.10 mol/L SO_4^{2-} 的除氧0.05 mol/L NaHCO_3 溶液中浸泡第一和第三阶段的电化学阻抗谱(EIS)

Fig.3 Bode phase plots (a, c) and Bode impedance plots (b, d) of NiCu low alloy steel for the first (a, b) and third (c, d) stages in the deaerated 0.05 mol/L bicarbonate solution containing 0.10 mol/L SO_4^{2-}

则变化不大, 在 $16\sim 20\ \Omega\cdot\text{cm}^2$ 范围内波动. 在经历了开路电位快速上升的第二阶段之后, 试样的开路电位在第三阶段最终得到稳定. 相应地, 从图3c和d也可以看出, 试样第三阶段后期的EIS重合. 与第一阶段中类似, 第三阶段的EIS(图3c)除高频相移外, 仅在低频段表现出一个对称的相角峰, 但峰值频率稍向高频方向移动, 约为0.13 Hz, 峰值约为 62° . 如图3d所示, R_{LF} 也有所升高, 约为 $1000\ \Omega\cdot\text{cm}^2$. 这说明浸泡后期电极表面沉积的腐蚀产物不具有钝态性质, 电极表面仍保持活性溶解状态.

试样在0.10 mol/L NaHCO_3 +0.10 mol/L Na_2SO_4 溶液中浸泡第一和第三阶段的EIS结果如图4所示. 可见, 浸泡1 d后的Bode相角图(图4a)同样为一个宽大且对称的相角峰, 峰值大小约为 70° , 峰值频率在6.3 Hz附近, 且低频端(10 mHz附近)同样呈现出轻微上扬的趋势. 随浸泡时间的延长, 相角峰逐步向低频方向移动. 浸泡14 d后, 相角图在低频段开始表现为一个不对称的相角峰. 这一般是由2个峰的叠加所致, 说明与0.05 mol/L NaHCO_3 +0.10 mol/L Na_2SO_4 不同, 在0.10 mol/L NaHCO_3 +0.10 mol/L Na_2SO_4 溶液中浸泡第一阶段后期, 电极表面所生成的腐蚀产物很有可

能已经起到障碍层的作用. 从模值图结果(图4b)来看, 浸泡1 d后的 R_{LF} 约为 $2887\ \Omega\cdot\text{cm}^2$, 而4 d后 R_{LF} 有所增加, 在此之后, R_{LF} 随浸泡时间的延长而逐渐降低, 20 d时约为 $1203\ \Omega\cdot\text{cm}^2$. R_{HF} 在浸泡过程中变化不大, 在 $14\sim 17\ \Omega\cdot\text{cm}^2$ 范围内波动. 随着电极表面状态在第三阶段得到稳定, 阻抗谱也在第三阶段出现了部分重合的现象, 如图4c和d所示. 与第一阶段后期结果类似, 第三阶段相角图均在低频段表现为一个不对称的相角峰(图4c). 从图4d来看, 第三阶段 R_{LF} 的变化范围介于 $813\sim 1158\ \Omega\cdot\text{cm}^2$ 之间.

一般来说, 除高频相移外, Bode相角图中表现出来的峰值个数就对应着时间常数的个数^[21], 因此根据图3和4的结果, 选用了如图5所示的2种等效电路对阻抗谱进行拟合. 图5a的电路用来拟合仅表现出了一个时间常数的EIS, 即包括试样在0.05 mol/L NaHCO_3 +0.10 mol/L Na_2SO_4 溶液中测得的所有阻抗数据以及在0.10 mol/L NaHCO_3 +0.10 mol/L Na_2SO_4 溶液中浸泡前8 d的阻抗数据. 其中, Q_{HF} 表示高频电容, R_e 表示溶液电阻, Q_{dl} 代表双电层电容, R_{ct} 表示电荷转移电阻. 此外, Sherar等^[22]的工作表明, 将Warburg阻抗与电荷转移电阻串联

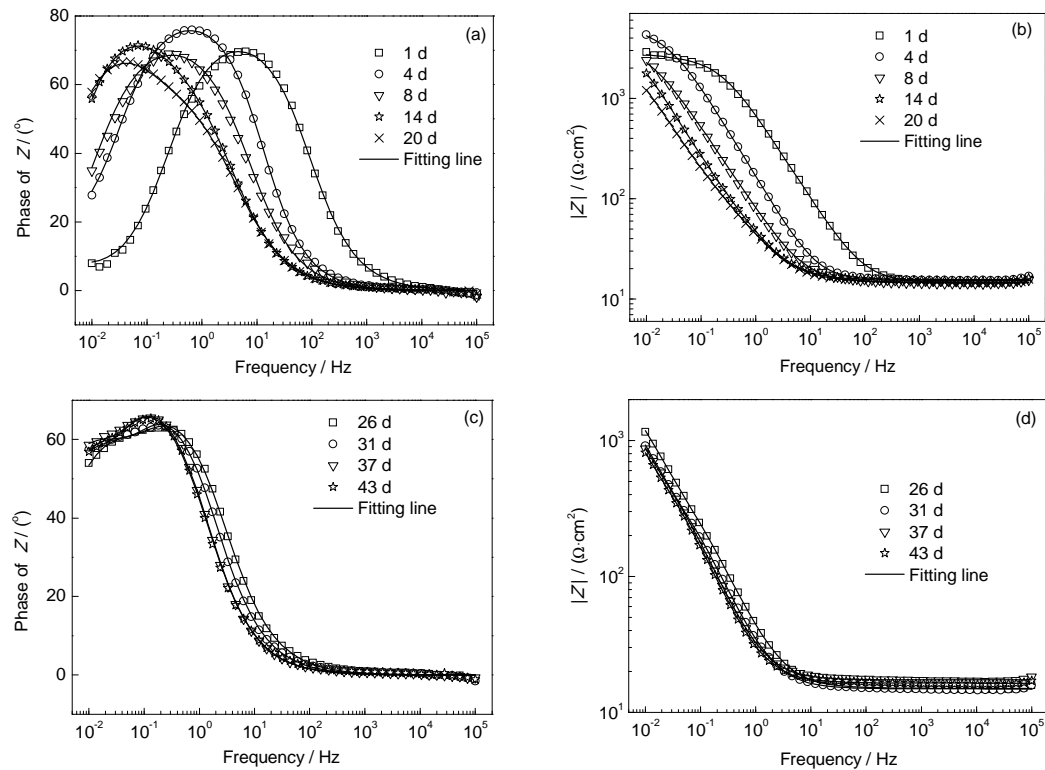


图 4 NiCu 低合金钢在添加了 0.10 mol/L SO_4^{2-} 的除氧 0.10 mol/L NaHCO_3 溶液中浸泡第一和第三阶段的 EIS

Fig.4 Bode phase plots (a, c) and Bode impedance plots (b, d) of NiCu low alloy steel for the first (a, b) and third (c, d) stages in the deaerated 0.10 mol/L bicarbonate solution containing 0.10 mol/L SO_4^{2-}

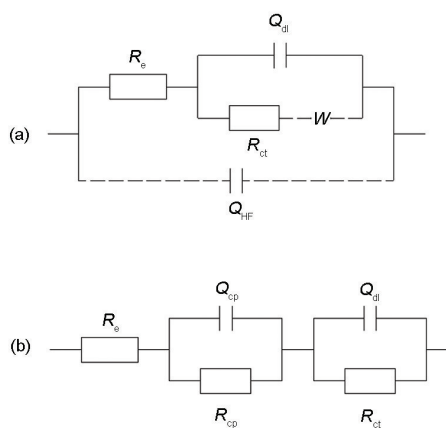


图 5 等效电路示意图

Fig.5 Equivalent circuits for fitting the EIS data measured in the 0.05 mol/L NaHCO_3 + 0.10 mol/L Na_2SO_4 (a) and 0.10 mol/L NaHCO_3 + 0.10 mol/L Na_2SO_4 (b) solutions (Q_{HF} —capacitance caused by high frequency phase shift, R_e —electrolyte resistance, Q_{dl} —double layer capacitance, R_{ct} —charge transfer resistance, W —Warburg impedance, Q_{cp} —capacitance of precipitated corrosion products layer, R_{cp} —resistance of precipitated corrosion products layer)

能够提高阻抗数据在低频段的拟合精度,并在一定程度上反应腐蚀产物膜对离子传输过程的阻碍作

用,因此图 5a 中也选用了 Warburg 阻抗,并用 W 表示. 由于 W 和 Q_{HF} 仅在部分阻抗谱拟合中用到,因此将其用虚线连接. 图 5b 则用来拟合测得了 2 个时间常数的阻抗谱,即试样在 0.10 mol/L NaHCO_3 + 0.10 mol/L Na_2SO_4 溶液中浸泡 14 d 的阻抗数据. 其中, Q_{cp} 和 R_{cp} 分别表示腐蚀产物沉积层的电容和电阻. 对于图 5 中的常相位角元件(CPE),即 Q_{HF} , Q_{dl} 和 Q_{cp} , 它们的阻抗 Z_Q 是角频率 ω 的函数:

$$Z_Q = [Y_0(j\omega)^n]^{-1} \quad (14)$$

式中, $j = \sqrt{-1}$. 因此等效元件 Q 有 2 个参数: 一个是 Y_0 , 其量纲为 $\text{S} \cdot \text{s}^n \cdot \text{cm}^{-2}$; 另一个是 n , 无量纲的指数, 且 $-1 \leq n \leq 1$. 依据 n 值的不同, CPE 可分别代表电感 ($n=-1$), 电阻 ($n=0$), Warburg 阻抗 ($n=0.5$) 和纯电容 ($n=1$). 具体拟合结果分别列于表 1 和 2 中. R_{ct} 随浸泡时间的变化曲线如图 6 所示, 虚线给出了 R_{ct} 在相应纯 NaHCO_3 溶液中的变化^[15,16].

从表 1 中可以看出, 试样在 0.05 mol/L NaHCO_3 + 0.10 mol/L Na_2SO_4 溶液中浸泡的第一阶段, 即前 32 d, R_{ct} 在 $18 \Omega \cdot \text{cm}^2$ 左右波动. R_{ct} 先降低后增加, 这与相应空白 NaHCO_3 溶液中的变化趋势一致(图 6a). 早期浸泡过程中, 阴离子的侵入导致极化作用

逐渐增强, R_{ct} 降低, 腐蚀过程越来越易进行, 而随着腐蚀产物的逐渐沉积, 腐蚀过程受到抑制, R_{ct} 又有所增大. 此外, n_{dl} 在第一阶段均保持在 0.8 以上, $Y_{0,dl}$ 则随时间延长而增加, 说明该阶段内, 双电层界面保持良好的电容特性, 且电容随腐蚀过程的进行及腐蚀产物的沉积而逐步增大^[21]. 在第三阶段, 即 44 和 50 d 后, R_c 变化不大, n_{dl} 仍保持在 0.8 以上, 而 $Y_{0,dl}$

和 R_{ct} 小于 32 d 的值. 这说明在第三阶段, 试样表面沉积的腐蚀产物不能有效阻碍腐蚀过程, 反而可以通过与金属基体构成电偶对等形式, 加速腐蚀过程的进行, 使试样腐蚀速率增大. 此外, 与空白 NaHCO_3 溶液相比, 添加 0.10 mol/L SO_4^{2-} 后, 第三阶段的 R_{ct} 降低, 腐蚀过程受到明显促进. 如表 2 和图 6b 所示, 在 0.10 mol/L NaHCO_3 +0.10 mol/L Na_2SO_4

表 1 NiCu 低合金钢在 0.05 mol/L NaHCO_3 +0.10 mol/L Na_2SO_4 溶液中的 EIS 拟合结果

Table 1 Fitted results for EIS data measured in the deaerated 0.05 mol/L NaHCO_3 +0.10 mol/L Na_2SO_4 solution

Time	$Y_{0,HF}$	n_{HF}	R_c	$Y_{0,dl}$	n_{dl}	R_{ct}	$Y_{0,w}$
d	$\text{S}\cdot\text{s}^n\cdot\text{cm}^{-2}$		$\Omega\cdot\text{cm}^2$	$\text{S}\cdot\text{s}^n\cdot\text{cm}^{-2}$		$\Omega\cdot\text{cm}^2$	$\text{S}\cdot\text{s}^{0.5}\cdot\text{cm}^{-2}$
1	—	—	18.24	0.0002459	0.8338	5188	0.006392
5	1.728×10^{-7}	1	17.84	0.0010690	0.9170	4126	—
9	3.684×10^{-6}	0.7569	18.38	0.0032880	0.8994	3830	0.012470
15	2.367×10^{-5}	0.6325	18.28	0.0065300	0.9053	3072	0.003444
21	4.490×10^{-5}	0.5914	17.97	0.0097040	0.9041	2590	0.003690
27	1.906×10^{-5}	0.6445	17.49	0.0138600	0.8896	3648	0.010770
32	3.000×10^{-5}	0.6158	17.92	0.0174700	0.8708	4204	—
44	3.243×10^{-5}	0.6009	21.60	0.0060670	0.8241	1339	0.006091
50	2.503×10^{-5}	0.6203	22.26	0.0064910	0.8261	1486	0.007765

Note: $Y_{0,HF}$ and n_{HF} —fitted parameters used to define the impedance of constant phase element (CPE) Q_{HF} via Eq.(1); $Y_{0,dl}$ and n_{dl} —fitted parameters of Q_{dl} ; $Y_{0,w}$ —fitted parameter of W

表 2 NiCu 低合金钢在 0.10 mol/L NaHCO_3 +0.10 mol/L Na_2SO_4 溶液中的 EIS 拟合结果

Table 2 Fitted results for EIS data measured in the deaerated 0.10 mol/L NaHCO_3 +0.10 mol/L Na_2SO_4 solution

Time	R_c	$Y_{0,cp}$	n_{cp}	R_{cp}	$Y_{0,dl}$	n_{dl}	R_{ct}	$Y_{0,w}$
d	$\Omega\cdot\text{cm}^2$	$\text{S}\cdot\text{s}^n\cdot\text{cm}^{-2}$		$\Omega\cdot\text{cm}^2$	$\text{S}\cdot\text{s}^n\cdot\text{cm}^{-2}$		$\Omega\cdot\text{cm}^2$	$\text{S}\cdot\text{s}^{0.5}\cdot\text{cm}^{-2}$
1	14.58	—	—	—	0.0002781	0.8658	2538	0.012750
4	15.66	—	—	—	0.0011160	0.9163	4236	0.003927
8	14.58	—	—	—	0.0027680	0.8409	3408	—
14	15.32	0.02028	0.6764	27.89	0.0059360	0.9072	4110	—
20	14.72	0.01620	0.6958	41.75	0.0083580	0.8713	3752	—
26	15.05	0.02627	0.9692	55.75	0.0071720	0.8090	3780	—
31	14.89	0.02941	0.9916	65.46	0.0099230	0.8147	4038	—
37	17.34	0.03457	1	107.80	0.0114000	0.8218	5219	—
43	16.42	0.03906	1	104.70	0.0121500	0.8159	4094	—

Note: $Y_{0,cp}$ and n_{cp} —fitted parameters of Q_{cp}

chinaXiv:202303.00572v1

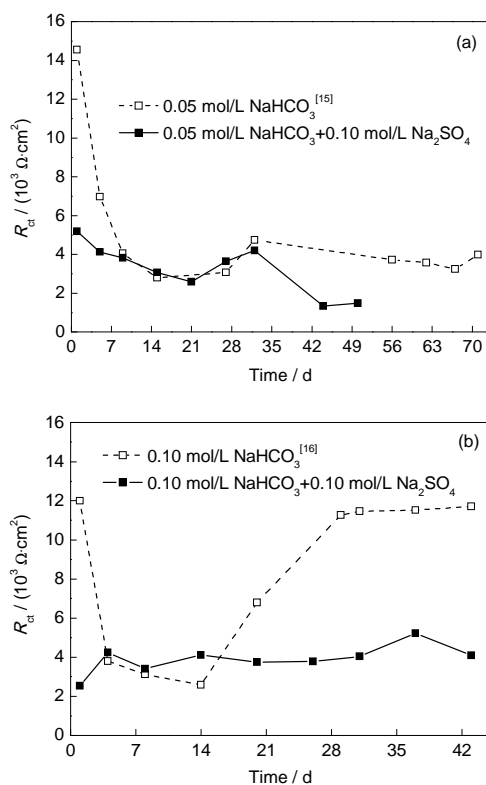


图 6 NiCu 低合金钢在添加了 0.10 mol/L SO_4^{2-} 的除氧 0.05 和 0.10 mol/L NaHCO_3 溶液中及未添加 SO_4^{2-} 溶液中^[15,16]的 R_{ct} 拟合结果随浸泡时间的演化曲线

Fig.6 Evolution of the R_{ct} obtained from EIS data as a function of immersion time in the deaerated 0.05 mol/L (a) and 0.10 mol/L (b) bicarbonate solutions with or without^[15,16] 0.10 mol/L SO_4^{2-}

溶液中也观察到了第三阶段 R_{ct} 远小于其在相应空白 NaHCO_3 溶液中的现象. 但不同的是, 试样在 0.10 mol/L NaHCO_3 +0.10 mol/L Na_2SO_4 溶液中第一阶段后期(14 d 以后), 阻抗谱显示除 Q_{dl} 和 R_{ct} 外, 还有另一组电容和电阻 Q_{cp} 和 R_{cp} 存在. 随时间的延长, R_{cp} , n_{cp} 和 $Y_{0,cp}$ 均逐渐增加; 第三阶段的 R_{ct} 与第一阶段相比并未降低, $Y_{0,dl}$ 也有所增加. 综合对比极化曲线结果表明, NaHCO_3 浓度从 0.05 mol/L 增加到 0.10 mol/L 有利于钝性腐蚀产物膜的形成, 使产物膜由疏松向致密过渡, 从而对侵蚀性离子的入侵起到一定的阻碍作用.

图 7 为 NiCu 低合金钢在浸泡结束后产物的 XRD 谱. 可以看出, NiCu 低合金钢在 0.05 mol/L NaHCO_3 +0.10 mol/L Na_2SO_4 和 0.10 mol/L NaHCO_3 +0.10 mol/L Na_2SO_4 溶液中的腐蚀产物均主要由 $\alpha\text{-FeOOH}$, Fe_3O_4 和 $\text{Fe}_6(\text{OH})_{12}\text{CO}_3$ 构成. 其中在 0.05 mol/L NaHCO_3 +0.10 mol/L Na_2SO_4 溶液中, Fe_3O_4 的衍射峰较强, $\text{Fe}_6(\text{OH})_{12}\text{CO}_3$ 的衍射峰较弱; 而

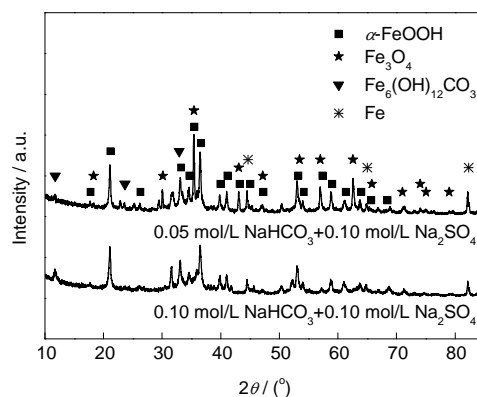


图 7 NiCu 低合金钢在实验溶液中浸泡结束后产物的 XRD 谱

Fig.7 XRD spectra of the surface layer of NiCu low alloy steel after immersion tests

在 0.10 mol/L NaHCO_3 +0.10 mol/L Na_2SO_4 溶液中, Fe_3O_4 的衍射峰弱, $\text{Fe}_6(\text{OH})_{12}\text{CO}_3$ 的衍射峰较强. 这说明增加 HCO_3^- 浓度促进了 $\text{Fe}_6(\text{OH})_{12}\text{CO}_3$ 生成^[23-25]. 与空白 NaHCO_3 ^[15,16] 溶液中的结果相比, 可以发现, 添加 SO_4^{2-} 对于 $\text{Fe}_6(\text{OH})_{12}\text{CO}_3$ 的形成也有促进作用. 这是因为 SO_4^{2-} 加速基体溶解, 生成更多 Fe^{2+} (反应(13)), 使 $\text{Fe}_6(\text{OH})_{12}\text{CO}_3$ 的转化量增多(反应(9)).

浸泡实验结束后的 NiCu 低合金钢样品去除表面腐蚀产物后的表面腐蚀形貌如图 8 所示. 从图 8a 和 b 可以看出, 试样在 0.05 mol/L NaHCO_3 +0.10 mol/L Na_2SO_4 溶液中浸泡 56 d 后, 表面形貌基本以均匀腐蚀形貌为主, 与空白 NaHCO_3 溶液中的结果相比, 试样表面高低起伏较为明显, 但腐蚀坑的数量明显减少且尺寸减小. 从图 8c 可以看出, 在 0.10 mol/L NaHCO_3 +0.10 mol/L Na_2SO_4 溶液中浸泡 43 d 后, 试样表面较平整, 表面形貌同样以均匀腐蚀形貌为主, 未观察到明显的点蚀坑. 仅在高倍下, 可以观察到细小腐蚀坑, 如图 8d 所示. 也即在 0.10 mol/L NaHCO_3 +0.10 mol/L Na_2SO_4 溶液中, 试样表面在长期浸泡后, 表面虽然有保护性的腐蚀产物膜生成, 但腐蚀模式仍以均匀腐蚀为主.

从上述讨论可以看出, 在腐蚀初期, HCO_3^- 和 SO_4^{2-} 都可以促进基体的腐蚀(反应(11)~(13)). 而对于后期钝化膜的形成, HCO_3^- 有促进作用^[19,20], SO_4^{2-} 则会起到抑制作用, 两者之间存在竞争. 由于 SO_4^{2-} 电负性较大, 易在电极表面位置吸附, 从而使得 HCO_3^- 无法大量聚集, 不利于钝化膜的生成. 在 0.05 mol/L NaHCO_3 溶液中加入 0.10 mol/L SO_4^{2-} 后, 电极表面始终处于活性溶解状态, 腐蚀速率较大. 而当 HCO_3^- 浓度较高(0.10 mol/L NaHCO_3) 时, SO_4^{2-}

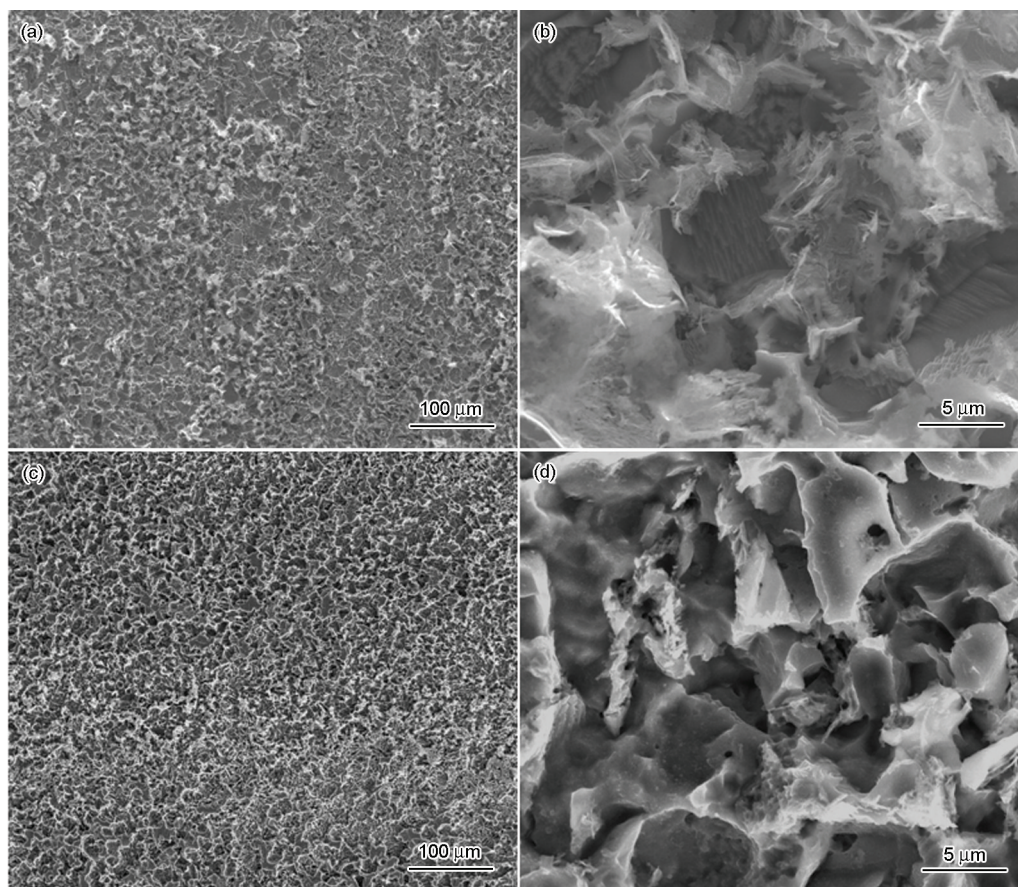


图8 NiCu低合金钢在0.05 mol/L NaHCO_3 +0.10 mol/L Na_2SO_4 和0.10 mol/L NaHCO_3 +0.10 mol/L Na_2SO_4 溶液中中长期浸泡实验后去除表面锈层的表面腐蚀形貌

Fig.8 Low (a, c) and high (b, d) magnified surface morphologies of low alloy steel after immersion tests in 0.05 mol/L NaHCO_3 +0.10 mol/L Na_2SO_4 solution for 56 d (a, b) and 0.10 mol/L NaHCO_3 +0.10 mol/L Na_2SO_4 solution for 43 d (c, d)

的破坏作用受到抑制,但与空白 NaHCO_3 溶液相比,腐蚀速率还是显著增加。因此,在这2种溶液中,浸泡结束后的试样表面均以均匀腐蚀形貌为主。

3 结论

(1) NiCu低合金钢在除氧的0.05 mol/L和0.10 mol/L NaHCO_3 溶液中浸泡初期,与空白 NaHCO_3 溶液中的结果相比,添加0.10 mol/L SO_4^{2-} 会加速NiCu低合金钢在 NaHCO_3 溶液中的腐蚀。

(2) 浸泡后期,添加的0.10 mol/L SO_4^{2-} 阻碍NiCu低合金钢表面钝化膜的生成,在0.05 mol/L NaHCO_3 溶液中,电极表面长期处于活性溶解状态,腐蚀速率较大;在0.10 mol/L NaHCO_3 溶液中,电极表面腐蚀产物保护性减弱,腐蚀速率增加。

(3) 浸泡实验后,试样表面腐蚀产物均主要由 $\alpha\text{-FeOOH}$, Fe_3O_4 和 $\text{Fe}_6(\text{OH})_{12}\text{CO}_3$ 构成, SO_4^{2-} 与 HCO_3^- 浓度的升高均有助于 $\text{Fe}_6(\text{OH})_{12}\text{CO}_3$ 的生成。表面形貌仍以均匀腐蚀形貌为主。

参考文献

- [1] Taniguchi N, Suzuki H, Kawasaki M, Naito M, Kobayashi M, Takahashi R, Asano H. *Corros Eng Sci Technol*, 2011; 46: 117
- [2] Kursten B, Druyts F, Macdonald D D, Smart N R, Gens R, Wang L, Weetjens E, Govaerts J. *Corros Eng Sci Technol*, 2011; 46: 91
- [3] Macdonald D D, Urquidi-Macdonald M, Engelhardt G R, Azizi O, Saleh A, Almazooqi A, Rosas-Camacho O. *Corros Eng Sci Technol*, 2011; 46: 98
- [4] Féron D, Crusset D, Gras J M. *J Nucl Mater*, 2008; 379: 16
- [5] Bennett D G, Gens R. *J Nucl Mater*, 2008; 379: 1
- [6] King F, Padovani C. *Corros Eng Sci Technol*, 2011; 46: 82
- [7] King F. *Corrosion*, 2013; 69: 986
- [8] Guo Y H, Wang J, Lv C H, Liu S F, Zhong Z H. *Earth Sci Front*, 2005; 12(Suppl): 117
(郭永海, 王 驹, 吕川河, 刘淑芬, 钟自华. 地学前缘, 2005; 12(特刊): 117)
- [9] Cao G L, Li G M, Chen S, Chang W S, Chen X Q. *Acta Metall Sin*, 2011; 47: 145
(曹国良, 李国明, 陈 珊, 常万顺, 陈学群. 金属学报, 2011; 47: 145)

- [10] Matsushima I, Translated by Jing Y K. *Low-Alloy Corrosion Resistant Steels: A History of Development, Application and Research*. Beijing: Metallurgic Industry Press, 2004: 100
(松岛 岩著, 靳裕康译. 低合金耐蚀钢——开发、发展及研究. 北京: 冶金工业出版社, 2004: 100)
- [11] Kihira H, Kimura M. *Corrosion*, 2011; 67: 1
- [12] Yang J F, Dong J H, Ke W. *Acta Metall Sin*, 2011; 47: 1321
(阳靖峰, 董俊华, 柯 伟. 金属学报, 2011; 47: 1321)
- [13] Wen H L, Dong J H, Ke W, Chen W J, Yang J F, Chen N. *Acta Metall Sin*, 2014; 50: 275
(文怀梁, 董俊华, 柯 伟, 陈文娟, 阳靖峰, 陈 楠. 金属学报, 2014; 50: 275)
- [14] Lu Y F, Yang J F, Dong J H, Ke W. *Acta Metall Sin*, 2015; 51: 440
(卢云飞, 阳靖峰, 董俊华, 柯 伟. 金属学报, 2015; 51: 440)
- [15] Lu Y F, Dong J H, Ke W. *J Mater Sci Technol*, accepted.
- [16] Lu Y F, Dong J H, Ke W. *J Mater Sci Technol*, doi:10.1016/j.jmst.2014.10.013
- [17] Dong J H, Nishimura T, Kodama T. *MRS Symp Process*, 2002; 713: 105
- [18] Bockris J O M, Drazic D, Despic A R. *Electrochim Acta*, 1961; 4: 325
- [19] Davies D H, Burstein G T. *Corrosion*, 1980; 36: 416
- [20] Burstein G T, Davies D H. *Corros Sci*, 1980; 20: 1143
- [21] Cao C N, Zhang J Q. *Introduction of Electrochemical Impedance Spectroscopy*. Beijing: Science Press, 2002: 135
(曹楚南, 张鉴清. 电化学阻抗谱导论. 北京: 科学出版社, 2002: 135)
- [22] Sherar B W A, Keech P G, Qin Z, King F, Shoesmith D W. *Corrosion*, 2010; 66: 045001-1
- [23] Genin J M R, Bourrie G, Trolard F, Abdelmoula M, Jaffrezic A, Refait P, Maitre V, Humbert B, Herbillon A. *Environ Sci Technol*, 1988; 32: 1058
- [24] Larroumet D, Greenfield D, Akid R, Yarwood J. *J Raman Spectrosc*, 2008; 39: 1740
- [25] Drissi S H, Refait P, Abdelmoula M, Genin J M R. *Corros Sci*, 1995; 37: 2025

(责任编辑:肖素红)